

УДК 535.817.1

**ЭЛЕКТРОДИНАМИЧЕСКАЯ ТЕОРИЯ  
ВОЗМУЩЕНИЙ ДЛЯ ДИФРАКЦИИ СВЕТА  
НА ОБЪЕМНЫХ ФАЗОВЫХ РЕШЕТКАХ**

*O. B. Константинов, M. M. Панахов и Ю. Ф. Романов*

Дана теория дифракции света на объемных решетках с гармонической модуляцией показателя преломления, основанная на методе последовательных приближений, соответствующем кинематическому приближению. Теория применима к решеткам с не-высокой дифракционной эффективностью — до 30%, однако она допускает простое геометрическое истолкование и позволяет рассмотреть решетки с произвольной ориентацией слоев. Выяснено, что в одной и той же решетке с наклонными слоями формы двух брэгговских пиков существенно различаются, причем различие тем больше, чем больше угол наклона слоев к поверхности. Проведено сравнение теории возмущений с теорией связанных волн и показано, что некорректность последней проявляется в нарушении принципа взаимности. При больших углах падения или дифракции в теории связанных волн возникают большие погрешности при описании формы брэгговского пика.

Задача о распространении света в структуре с произвольным периодическим изменением показателя преломления точного аналитического решения не имеет. Построение аналитической теории дифракции света на такой структуре становится возможным, когда амплитуда модуляции диэлектрической проницаемости  $\Delta\epsilon_0$  много меньше среднего значения диэлектрической проницаемости  $\epsilon_0$  [1-3]. Однако даже в этом случае решение получается достаточно сложным. Оно существенно упрощается для решеток со сравнительно низкой дифракционной эффективностью, когда можно использовать теорию возмущений, характерную для кинематического подхода к задачам дифракции [4]. Теория возмущений количественно применима к голограммическим решеткам с эффективностью до 30%. Ее достоинство заключается в простоте решения и в удобстве описания дифракции света при различных ориентациях слоев решетки к поверхности. Теория возмущений является также надежным средством контроля любой более общей теории. Так, например, результаты теории связанных волн [1] для решеток с наклонными слоями не переходят в результаты теории возмущений при удалении от резонанса, что свидетельствует о некорректности теории связанных волн.

### 1. Теория возмущений

Рассмотрим отражение света от реальной голограммической решетки, представляющей собой стеклянную пластинку и слой желатины, в котором создана гармоническая модуляция диэлектрической проницаемости

$$\epsilon(x, y) = \epsilon_0 - \Delta\epsilon(x, y), \quad (1)$$

где

$$\Delta\epsilon(x, y) = 2\Delta\epsilon_0 \cos(Qr) \Pi(x, T). \quad (2)$$

Здесь  $Q$  — вектор обратной решетки,  $\Pi(x, T)$  — ступенчатая функция, равная единице в слое желатины ( $0 \leq x \leq T$ ) и нулю вне его. Схематическое изображение решетки падающей и отраженных волн приведено

на рис. 1. Вектор  $\mathbf{Q}$  лежит в плоскости падения света, так что  $Q_z=0$ . Из рис. 1 ясно, что задача об отражении света распадается на три этапа: прохождение световой волны через плоскую границу раздела воздух—стекло (однородный диэлектрик), дифракционное отражение прошедшего света от слоистой среды, выход дифрагированного света из однородного диэлектрика в воздух. Первый и третий этапы легко решаются с помощью формул Френеля для однородного диэлектрика. Поэтому нас будет интересовать лишь второй этап задачи. При этом можно пренебречь разностью средних показателей преломления однородной и модулированной сред — стекла и желатины. Иными словами, задача сво-

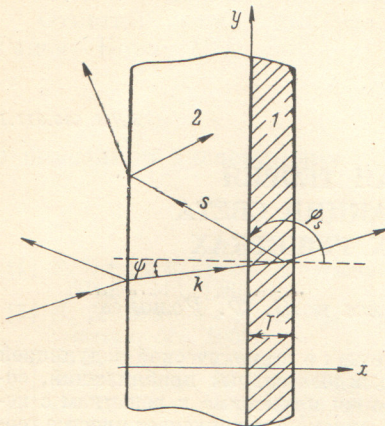


Рис. 1. Схематическое изображение объемной фазовой решетки (1), стеклянной пластины (2) и распространяющихся волн.

$k$  — вектор падающей волны в среде,  $s$  — вектор дифрагированной волны. Все углы отсчитываются от оси  $x$  и изменяются в пределах от  $-\pi$  до  $\pi$ .

дится к определению коэффициента дифракционного отражения от «пустой» решетки.

Выпишем уравнения Максвелла для двух поляризаций световой волны.  
а. ТЕ-поляризация,  $E_x=E_y=0$ ,  $E_z \neq 0$ ,

$$\nabla^2 E_z(x, y) + (k^2 + i\alpha k) E_z(x, y) = k_0^2 \Delta \epsilon(x, y) E_z(x, y), \quad (3)$$

где

$$k_0 = \omega/c; \quad k^2 = k_0^2 \epsilon'_0; \quad \epsilon_0 = \epsilon'_0 + i\epsilon''_0, \quad (3a)$$

причем  $k_0 \epsilon''_0 (\epsilon'_0)^{-1/2} = \alpha$ ;  $\alpha$  — коэффициент поглощения света в среде.

б. ТМ-поляризация,  $H_x=H_y=0$ ,  $H_z \neq 0$ ,

$$\nabla^2 H_z(x, y) + (k^2 + i\alpha k) H_z(x, y) = ik_0 \left\{ \frac{\partial}{\partial y} [E_x(x, y) \Delta \epsilon(x, y)] - \frac{\partial}{\partial x} [E_y(x, y) \Delta \epsilon(x, y)] \right\}. \quad (4)$$

Представим электромагнитное поле  $\mathbf{E}$ ,  $\mathbf{H}$  в виде двух слагаемых

$$\mathbf{E}(x, y) = \mathbf{E}_0(x, y) + \mathbf{E}_1(x, y); \quad \mathbf{H}(x, y) = \mathbf{H}_0(x, y) + \mathbf{H}_1(x, y). \quad (5)$$

Первое слагаемое

$$\mathbf{E}_0(x, y) = \mathbf{E}_0 e^{ikr}; \quad \mathbf{H}_0(x, y) = \mathbf{H}_0 e^{ikr}, \quad (6)$$

в котором

$$k_y = k \sin \psi; \quad k_x = \sqrt{k^2 \cos^2 \psi + i\alpha k} \simeq k \cos \psi + \frac{i\alpha}{2 \cos \psi}, \quad (7)$$

описывает поле волны, падающей под углом  $\psi$  из однородного диэлектрика на решетку. Компонента  $k_y$  волнового вектора предполагается вещественной. Компонента  $k_x$  имеет положительную мнимую часть, связанную, согласно (7), со средним коэффициентом поглощения света в материале решетки. Слагаемое  $\mathbf{E}_0$ ,  $\mathbf{H}_0$  является главным в теории возмущений. Второе слагаемое  $\mathbf{E}_1$ ,  $\mathbf{H}_1$  считается малым; при его определении из уравнений (3) или (4) в правой части уравнений следует сохранить лишь  $\mathbf{E}_0$ . Зависимости  $\mathbf{E}_1$  и  $\mathbf{H}_1$  от координат определяются произведением функций  $\exp(ik_y y)$  и  $\cos(Qr)$ . Следовательно, поле  $\mathbf{E}_1$  будет иметь вид

$$\mathbf{E}_1(x, y) = \mathbf{E}_-(x, y) + \mathbf{E}_+(x, y), \quad (8)$$

где

$$\mathbf{E}_{\pm}(x, y) = \mathbf{E}_{\pm}(x) e^{i(k_y \pm Q_y)y}. \quad (9)$$

Аналогичный вид имеет и поле  $\mathbf{H}_1$ .

В указанном приближении для случая ТЕ-поляризации падающего света можно получить из уравнения (3) обыкновенные дифференциальные уравнения, описывающие  $E_+(x)$  и  $E_-(x)$ ,

$$\frac{d^2E_{\pm}(x)}{dx^2} + q_{\pm}^2 E_{\pm}(x) = A \Pi(x, T) e^{i\sigma_{\pm} x}, \quad (10)$$

где

$$A = k_0^2 E_0 \Delta \epsilon_0; \quad \sigma_{\pm} = \mathbf{k} \pm \mathbf{Q}; \quad (11)$$

$$q_{\pm}^2 = k^2 - \sigma_{\pm}^2 + i\alpha k = k^2 - (k_y \pm Q_y)^2 + i\alpha k. \quad (12)$$

Во избежание громоздкости формул будем проводить дальнейший анализ для одной из волн, а именно для волны  $E_-$ , соответствующей (-1)

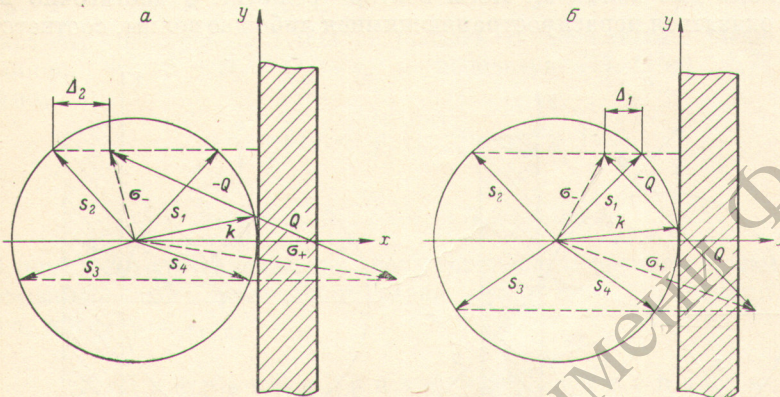


Рис. 2. Векторная интерпретация четырех дифрактированных волн в случае отражательной (а) и пропускающей (б) решеток.

порядку дифракции, имея в виду, что результаты для волны  $E_+$  могут быть легко получены при замене  $-Q$  на  $+Q$ . Уравнение (10) имеет следующее решение:

$$E_-(x) = \frac{A}{2iq} \int_0^T e^{iq|x-x'|} e^{i\sigma x' x'} dx', \quad (13)$$

где  $\sigma = \sigma_-$ ,  $q = q_-$  (по определению мнимая и вещественная части величины  $q$  являются положительными). Решение (13) представляет собой расходящуюся волну, порожденную источником, который описывается правой частью уравнения (10). В области  $x > T$  эта волна пропорциональна  $\exp(iqx)$  и распространяется в сторону положительных значений  $x$ , а в области  $x < 0$  она пропорциональна  $\exp(-iqx)$  и распространяется в сторону отрицательных значений  $x$ . Удобно ввести волновой вектор  $\mathbf{s}$  рассеянной волны

$$\mathbf{s} = \mathbf{e}_x q \operatorname{sign} s_x + \mathbf{e}_y \sigma_y, \quad (14)$$

где  $\mathbf{e}_x$  и  $\mathbf{e}_y$  — орты осей  $x$  и  $y$ ,  $\operatorname{sign} s_x$  — знаковая функция, равная  $+1$  для волны, рассеянной вперед, и  $-1$  — для волны, рассеянной назад. Если ввести угол дифракции  $\psi_s$ , то

$$s_y = k \sin \psi_s; \quad s_x = k \cos \psi_s + \frac{i\alpha}{2 \cos \psi_s}. \quad (14a)$$

Интегрируя (13), получаем единую формулу для амплитуд этих волн

$$E_-(x, y) = \frac{A}{2iq} e^{isr} \chi(\Delta); \quad \chi(\Delta) = \frac{e^{iT\Delta} - 1}{i\Delta}; \quad \Delta = \sigma_x - s_x. \quad (15)$$

Если учесть, что существуют еще две аналогичные волны (+1) порядка, то в итоге результирующее волновое поле будет содержать совокупность четырех дифрагированных волн. На этот факт было указано в работе [4].

Геометрическое расположение волновых векторов падающей волны  $k$  и четырех дифрагированных волн  $s_j$  иллюстрируется на рис. 2. Отметим, что на рисунке изображены вещественные части этих векторов. Амплитуда любой дифрагированной волны характеризуется резонансной функцией  $\chi$ , аргумент которой  $\Delta$  можно назвать расстройкой брэгговского резонанса. В общем случае эта расстройка может быть малой только для одной из волн, для которой выполняется условие Брэгга, соответствующее  $\Delta=0$ . Так, на рис. 2,  $a$  показана отражательная решетка, у которой возможен резонанс для волны  $s_2$ , а на рис. 2,  $b$  — пропускающая решетка с резонансом для волны  $s_1$ . Если вектор решетки  $Q$  достаточно велик, то могут оказаться нераспространяющимися либо две волны, соответствую-

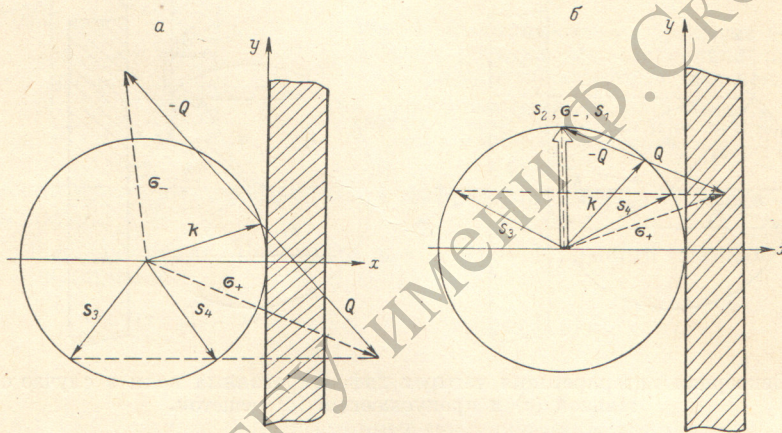


Рис. 3. Иллюстрация исчезновения волн (-1) порядка.

$a$  — концы векторов  $s_1$  и  $s_2$  выходят за пределы окружности,  $b$  — вектор  $\sigma_-$  параллелен поверхности решетки, его конец находится на окружности.

щие одному и тому же порядку дифракции, либо все четыре волны одновременно. Первый вариант иллюстрируется на рис. 3,  $a$ , из которого видно, что концы векторов  $s_1$  и  $s_2$  не могут лежать на окружности (сфере Эвальда). В этом случае при  $\alpha=0$  величина  $q$  оказывается чисто мнимой, а волны превращаются в поверхностные. Границу такого режима определяет условие «полного внутреннего дифракционного отражения», при котором векторы  $s_1$  и  $s_2$  совмещаются в положении, параллельном поверхности решетки (рис. 3,  $b$ ).

Волновой вектор  $s$  рассеянной волны и расстройка  $\Delta$ , определяющая ее амплитуду, содержит два параметра решетки,  $Q_x$  и  $Q_y$ . Вместо них целесообразно ввести два других параметра, которые легко находятся экспериментально, а именно брэгговский угол падения света на решетку  $\varphi$  и соответствующий ему угол дифракции  $\varphi_s$ . При выполнении брэгговского условия вектор  $\sigma_{\pm}=k \mp Q$  совпадает с вектором  $s_{\pm}$ , поэтому

$$k \cos \varphi_s = k \cos \varphi \mp Q_x; \quad k \sin \varphi_s = k \sin \varphi \mp Q_y. \quad (16)$$

Отсюда для порядка дифракции (-1) получаем

$$\frac{Q_x}{k} = \cos \varphi - \cos \varphi_s; \quad \frac{Q_y}{k} = \sin \varphi - \sin \varphi_s. \quad (17)$$

Если бы для нахождения  $Q_x$  и  $Q_y$  мы использовали углы  $\varphi'$  и  $\varphi'_s$ , соответствующие (+1) порядку дифракции, то

$$\frac{Q_x}{k} = \cos \varphi'_s - \cos \varphi'; \quad \frac{Q_y}{k} = \sin \varphi'_s - \sin \varphi'. \quad (17a)$$

Напомним, что величина  $Q_x$  считается положительной.

Получим теперь формулы, определяющие направления распространения дифрагированных волн. Составляющая волнового вектора  $s_y$ , касательная к границе решетки, равна  $k_y - Q_y$  для  $(-1)$  порядка дифракции. Используя (17), получаем

$$\sin \psi_s = \sin \psi - (\sin \varphi - \sin \varphi_s). \quad (18)$$

Эта формула дает синус угла дифракции. При определении угла  $\psi_s$  по его синусу нужно учитывать, что для проходящей волны  $|\psi_s| < \pi/2$ , а для отраженной волны  $|\psi_s| > \pi/2$ . Таким образом, формула (18) описывает направления векторов  $s_1$  и  $s_2$ , указанных на рис. 2. Для векторов  $s_3$  и  $s_4$ , соответствующих  $(+1)$  порядку дифракции, имеем:  $s'_y = k'_y + Q_y$ . Используя (17a), можно убедиться, что угол дифракции  $\psi'_s$  по-прежнему будет определяться формулой (18), однако в ней следует заменить  $\varphi$  на  $\varphi'$  и  $\varphi_s$  на  $\varphi'_s$ .

Параметр расстройки  $\Delta$  можно связать с введенными выше углами. Вспоминая, что  $\Delta = k_x \mp Q_x - s_x$  и используя (7), (14a), (17) и (17a), получаем

$$\frac{\Delta}{k} = \beta(\psi) + \frac{i\alpha}{2k} \left( \frac{1}{\cos \psi} - \frac{1}{\cos \psi_s} \right), \quad (19)$$

где

$$\beta(\psi) = \cos \psi - \cos \psi_s - (\cos \varphi - \cos \varphi_s). \quad (20)$$

Формула (20) справедлива для обоих порядков дифракции аналогично (18). Вещественная часть расстройки равна нулю при выполнении условия Брэгга, когда  $\psi = \varphi$ ,  $\psi_s = \varphi_s$ .

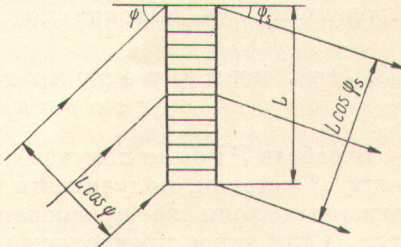
## 2. Дифракционная эффективность

Энергетический коэффициент отражения света «пустой» фазовой решеткой или ее дифракционная эффективность  $\eta^0$  определяется, согласно [1], следующим образом:

$$|E_s|^2 |\cos \psi_s| = \eta^0 |E_0|^2 |\cos \psi|. \quad (21)$$

Здесь  $E_s$  — комплексная амплитуда одной из дифрагированных волн,  $E_0$  — амплитуда волны, падающей на решетку под углом  $\psi$ . Физический смысл величины  $\eta^0$  нетрудно понять, если обе части (21) умножить на  $c\sqrt{\epsilon_0} L / 8\pi$ , где  $c$  — скорость света в вакууме,  $L$  — высота решетки. Обратимся к рис. 4. Величина  $c\sqrt{\epsilon_0} |E_0|^2 L \cos \psi / 8\pi$  представляет поток энергии, падающий

Рис. 4. К определению понятия дифракционной эффективности «пустой» решетки.



на решетку, а величина  $c\sqrt{\epsilon_0} |E_s|^2 L \cos \psi_s / 8\pi$  — поток энергии, уносимый дифрагированной волной.

Дифракционная эффективность пустой решетки для ТЕ-поляризации получается при подстановке в (21) амплитуды  $E_s$ , согласно (15),

$$\eta^0 = \left( \frac{kT}{2} \frac{\Delta \epsilon_0}{\epsilon_0} \right)^2 \frac{1}{|\cos \psi \cos \psi_s|} F(\xi); \quad \xi = \frac{kT}{2} \beta, \quad (22)$$

где

$$F(\xi) = \frac{e^{-(\alpha_k + \alpha_s)} \sin^2 \xi + \frac{1}{4} (e^{-\alpha_k} - e^{-\alpha_s})^2}{\xi^2 + \frac{1}{4} (\alpha_k - \alpha_s)^2}, \quad (23)$$

причем

$$\alpha_k = \frac{\alpha T}{2 \cos \psi}; \quad \alpha_s = \frac{\alpha T}{2 \cos \psi_s}. \quad (24)$$

Безразмерная расстройка  $\beta$  дается формулой (20). Когда поглощением света можно пренебречь, функция  $F(\xi)$  превращается в  $\sin^2 \xi / \xi^2$ .

Фактическая дифракционная эффективность  $\eta$  структуры, изображенной на рис. 1, может быть связана с эффективностью  $\eta^0$  «пустой» решетки. Эта связь совершенно очевидна тогда, когда по тем или иным причинам можно пренебречь переотражением света от границы воздух—диэлектрик

$$\eta = t(\psi) \eta^0 t(\psi_s), \quad (25)$$

где  $t$  — энергетический коэффициент прохождения света через границу воздух—диэлектрик, вычисляемый по формулам Френеля. Если же эффекты переотражения существенны, то задача усложняется, хотя в принципе она может быть решена, например, методом многолучевой интерференции [5].

Выражение (23) содержит член  $\sin^2 \xi$ , поэтому дифракционная эффективность имеет минимальное значение при  $\xi = m\pi$ , где  $m$  — целое число, не равное нулю. Минимумы, ближайшие к брэгговскому максимуму, получаются при  $m = \pm 1$ . Соответствующие углы падения находятся из уравнения  $\beta = \pm 2\pi/kT$ . Для объемных решеток, как правило, выполняется условие  $kT \gg 2\pi$ . В связи с этим углы падения для минимумов можно приближенно найти, разлагая  $\beta(\psi)$  в ряд вблизи  $\psi = \varphi$ , что справедливо при любых углах дифракции, за исключением  $\varphi_s = (\pi/2) - 0(\pi/kT)$ . Указанным способом можно получить угловое расстояние между первыми минимумами

$$\delta\psi = \frac{4\pi}{kT} \left| \frac{\cos \varphi_s}{\sin(\varphi_s - \varphi)} \right|. \quad (26)$$

При выводе этой формулы считалось, что угол падения  $\psi$  падающего луча близок к брэгговскому углу  $\varphi$ . Однако любая решетка характеризуется двумя брэгговскими углами,  $\varphi$  и  $\varphi'$ , причем для пропускающей решетки  $\varphi = \varphi_s$ . Если луч падает под углом, близким к  $\varphi_s$ , то угловая ширина пика может быть получена из (26) путем замены  $\varphi \Rightarrow \varphi_s$ . У наклонной решетки  $|\cos \varphi| \neq |\cos \varphi_s|$ , поэтому угловые ширины ее брэгговских пиков будут разными. Более узкий пик получается тогда, когда дифрактированный луч выходит под большим углом к нормали ( $\varphi_s \rightarrow \pi/2$ ).

### 3. Отличие результатов теории возмущений и теории связанных волн

В работе [1] было получено выражение для дифракционной эффективности  $\eta^0$  методом, получившим название теории связанных волн. Теория связанных волн не предполагает, что дифракционная эффективность мала. Если такое предположение сделать, то формула для  $\eta^0$ , полученная в [1], должна переходить в формулу (22), выведенную выше с помощью теории возмущений. Факт совпадения результатов может служить критерием корректности теории связанных волн, которая сама по себе не имеет строгого математического обоснования.

Если сделать приближение малой эффективности в общей формуле работы [1], то получится выражение, которое внешне аналогично формуле (22). Отличие, однако, состоит в том, что функция  $F$  зависит не от аргумента  $\xi$ , определенного формулами (22) и (20), а от другого аргумента  $\xi$

$$\xi = \frac{T}{2} \frac{\sigma^2 - s^2}{2\sigma_x} = \frac{T}{2} (\sigma_x - s_x) \frac{1}{2} \left( 1 + \frac{s_x}{\sigma_x} \right). \quad (27)$$

Таким образом

$$\xi = \xi f; \quad f = \frac{1}{2} \left( 1 + \frac{s_x}{\sigma_x} \right). \quad (27a)$$

Множитель  $f$  учитывает отличие аргументов  $\xi$  и  $\tilde{\xi}$ . В точке брэгговского резонанса  $s_x = \sigma_x$  и  $f=1$ . Отличие  $f$  от единицы увеличивается по мере отхода от резонанса, однако оно остается малым, за исключением случаев скользящего падения, когда  $\phi \simeq \pi/2$ , а также большого угла дифракции. В этих случаях положения минимумов дифракционной эффективности, найденные согласно теории связанных волн, будут определены с большой погрешностью. Пусть  $\varphi_s = (\pi/2) - \gamma$ , причем  $\gamma \ll 1$ . Будем считать, что второй брэгговский угол мал, т. е.  $\varphi \ll 1$ . Тогда, используя формулы (17) и (18), получим

$$f = \frac{1}{2} \left( 1 + \sqrt{1 + \frac{2(\varphi - \psi)}{\gamma^2}} \right). \quad (27\text{b})$$

Отсюда видно, что дополнительный множитель  $f$  при большом угле дифракции может оказаться существенно отличным от единицы.

Обратим внимание на обстоятельство, благодаря которому даже малое отличие  $f$  от единицы приобретает принципиальный характер. Это обстоятельство заключается в нарушении свойства взаимности, которое присуще результату теории связанных волн. Электродинамическая теорема взаимности [6] в применении к фазовым решеткам требует, чтобы при замене волновых векторов падающего и дифрагированного лучей и одновременной замене  $\mathbf{Q}$  на  $-\mathbf{Q}$  дифракционная эффективность не изменялась. Нетрудно убедиться, что выражение (22) обладает указанным свойством. Если же вместо аргумента  $\xi$  ввести  $\tilde{\xi}$ , то принцип взаимности нарушается. Действительно, при замене в соответствии с принципом взаимности аргумент  $\xi$  просто изменяет знак, что не сказывается на дифракционной эффективности, тогда как аргумент  $\tilde{\xi}$  изменяет свою абсолютную величину. Множитель  $f$  вместо значения

$$f_{\text{туда}} = \frac{1}{2} \left( 1 + \frac{s_x}{k_x - Q_x} \right) \text{ будет } f_{\text{обр.}} = \frac{1}{2} \left( 1 + \frac{k_x}{s_x + Q_x} \right). \quad (27\text{в})$$

Весьма наглядной иллюстрацией того, к чему приводит нарушение принципа взаимности, может служить следующий пример. Пусть минимум  $\eta^0$  соответствует углу падения  $\varphi_1$  вблизи брэгговского угла  $\varphi$ . При этом по формуле (18) можно рассчитать угол дифракции  $\psi_{s1}$ . Если теперь падающий луч направить под углом  $\psi_{s1}$ , то, согласно принципу взаимности, должен наблюдаться минимум дифракционной эффективности. Однако к указанному факту теория связанных волн не приводит, поскольку  $f_{\text{туда}}$  не равно  $f_{\text{обр.}}$ . В заключение оценим пределы применимости теории возмущений. Как было отмечено выше, некорректности в теории связанных волн возникают лишь при отходе от резонанса, но в точке резонанса они отсутствуют. Дифракционная эффективность  $\eta_{\max}^0$  в резонансе при  $\alpha=0$ , согласно [1], равна

$$\eta_{\max}^0 = \sin^2 \left( \frac{kT}{2} \frac{\Delta\varepsilon_0}{\varepsilon_0} \frac{1}{\sqrt{\cos \psi \cos \psi_s}} \right). \quad (28)$$

В случае, когда толщина решетки мала, синус можно заменить его аргументом. При этом (28) переходит в (22) при  $\xi=0$  и  $\alpha=0$ . Если дифракционная эффективность в соответствии с (28) равна 30%, то теория возмущений приведет к 34%, т. е. погрешность теории возмущений будет еще сравнительно невелика.

#### Литература

- [1] H. Kogelnik. Bell. Syst. Tech. J., 48, 2909, 1969.
- [2] А. А. Лещев, В. Г. Сидорович. Опт. и спектр., 44, 302, 1978.
- [3] О. В. Константинов, М. М. Панахов, Ю. Ф. Романов. Опт. и спектр., 44, 1016, 1978.
- [4] В. В. Аристов, В. Ш. Шехтман. Усп. физ. наук, 104, 51, 1971.
- [5] М. Бори, Э. Вольф. Основы оптики. «Наука», М., 1970.
- [6] Л. Д. Ландau, Е. М. Лифшиц. Электродинамика сплошных сред. ГИТТЛ, М., 1957.

Поступило в Редакцию 11 июля 1978 г.